



تقييم خرائط التنبؤ المكاني لإمطار شمال العراق باستخدام تقنيات نظم المعلومات الجغرافية GIS

أ.د. علي عبد عباس العزاوي جامعة كركوك — كلية التربية للعلوم الانسانية



#### مستخلص

تعد الأمطار موردا مناخيا ذات قيمة عالية، وخاصة في المناطق الجافة والشبه جافة لمحدودية مصادر المياه وتذبذبها الزماني والمكاني تبعا للموقع الفلكي والتباين التضاريسي والذي يتسبب في التباين المكاني لكميات الامطار على مساحة المنطقة وتحديد نوع استعمالات الارض الزراعية ومواسمها وانواع المحاصيل التي يمكن زراعتها في المنطقة، وهو ما ينعكس على الانشطة الاقتصادية الاخرى ،هنا تساعد نماذج الاستيفاء المكاني Interpolation method ضمن تقنيات التحليل الاحصائي Geostatistical Analysis في برمجيات نظم المعلومات الجغرافية GIS لاستكمال بيانات الامطار على مساحة المنطقة من بيانات المحطات المناخية الفعلية، لصعوبة بل استحالة إجراء قياسات لجميع المنطقة المدروسة وقد بذلت جهود واقعية كثيرة لمحاكاة هطول الامطار والحاجة الى اساليب تنبؤات مكانية اكثر صدقا ويؤدي الى تحقيق استيفاء مكانى اكثر دقة في الزمان والمكان. والتحقق من صحة النتائج باستخدام اساليب احصائية، يهدف البحث إلى التنبؤ بخريطة الامطار باستخدام طرائق الاحصاء المكاني Inverse distance weighted) IDW و kriging ، باستخدام البيانات المتوفرة في ١٢محطة مناخية موزعة في المنطقة وتوصلت الدراسة الي ان نموذج الكروى ( Spherical model) ضمن طريقة (Kriging) هي التي أعطت بعد المعايرة قيما قريبة من القيم الحقيقية بنسبة خطأ لا تتجاوز ١٠%، وبمعامل ارتباط (\*R= 0.617) , والتي يمكن بواسطتها التنبؤ بالتوزيع المكانى للامطار في الأماكن التي لا يوجد فيها محطات مناخية..في منطقة الدراسة. المفاتيح: التحليل الاحصائي المكاني، الاستيفاء المكاني، kriging و DW وخرائط السطوح المستمرة



يبرز أثر التباين المكاني للمطر تبعا للموقع الفلكي والتباين التضاريسي، وعادة ما يمثل التباين المكاني أوجه التشابه والتكامل من جهة وأوجه التنوع والاختلاف من جهــــة أخـــرى(١). وتظهر خاصية التباين المكانى في سقوط الأمطار ما بين محطة وأخرى نتيجة لتباين التضاريس الذي يبدو بأوضح صوره في منطقة الدراسة، إذ أن تباين ارتفاع المحطات عن مستوى سطح البحر يحدد إمكانية استفادتها من العوامل المعززة لفرص التساقط المطري. بالرغم من امتداد منطقة الدراسة على ثلاث دوائر إلا ان تأثيرها لم يظهر على خصائص الهطول في المنطقة ولهذا سيظهر أثر عامل التضاريس المتمثل بالمرتفعات الجبلية. إن كمية الهطول المطرى تزداد كلما اتجهنا من الجنوب الى الشمال والشمال الشرقي بفعل وجود المرتفعات الجبلية (١)، ان تحليل التوزيع المكاني للامطار ضرورية جدا في الدراسات البيئية للمنطقة، باعتبار ها تصنف ضمن البيئات الجافة وشبه الجافة ذات البيئة الحساسة التي تتميز بتذبذب الامطار وتباين توزيعها المكانى و هي المصدر الرئيسي لتوفير المياه لمختلف الاستخدامات البشرية واستعمالات الارض الزراعية، وهذه الحالة مناسبة لدراسة اثار التغير المناخى على التباين المكاني لتوزيع الامطار، ومع ذلك من غير الممكن ان تغطى محطات الارصاد الجوية الحاليــة في المنطقة مناطق واسعة خاصة في المناطق غير الماهولة السكان والغير مستثمرة. لذلك من المهم اختيار وسائل تقنية مناسبة لاستخدام بيانات الامطار في المحطات الحالية لنمذجة خارطة التنبؤ المكاني لمناطق واسعة. تغطي شمال العراق. تقنية الاستيفاء المكاني Spatial Interpolation method تستخدم بيانات نقاط مقاسة لتقدير القيم غير المعروفة في مواقع لم يتم اخذ عينات منها، وهناك العديد من طرق الاستيفاء المكاني توفرهـــا برمجيـــات GIS المتمثلـــة Geostatistical Analyst وان اختيار النموذج المكانى الافضل للاستيفاء يعتمد على دقة البيانات وانعكاسها على الهيكل المكاني، وهناك العديد من الباحثين اللذين استخدموا نماذج الاستيفاء المكاني على سبيل المثال (جودال واخرون ١٩٩٨) (٢) في ايرلندا و (ديركس واخرون ۱۹۹۸)<sup>(٤)</sup> في جزيرة نورفولك و (يرايس واخرون ۲۰۰۰ )<sup>(۵)</sup> في كندا و (ويلموت ۱۹۸۱)<sup>(۲)</sup> و (نالدیر وواین ۱۹۹۸) $^{(\gamma)}$  و (بروك وماكدونالد ۱۹۹۸ $^{(\wedge)}$  و (هیب ۲۰۰۸ $^{(\wedge)}$ . و (باركاوا واخرون ۲۰۰۹) (۲۰۰۹ و استنادا الى البحوث المذكورة تـم اختيار عـدة طـرق Inverse Distance

خرائط التنبؤ المكاني لامطار شمال العراق. وتم قياس دقة نتائج الاستيفاء المكاني باستخدام تقنية خرائط التنبؤ المكاني لامطار شمال العراق. وتم قياس دقة نتائج الاستيفاء المكاني باستخدام تقنية (Cross-Validation) واشارت النتائج الى ان تقنية النموذج الكروي (Spherical) هي الافضل في تمثيل خارطة التنبؤ المكاني لامطار شمال العراق لامتلاكه نسبة خطا اقل بناءا على قيمة مقياس جذر مربع الخطا التربيعي MAE root Mean Square erre ومتوسط الخطا المطلق MAE mean absolute error والجنوب الغربي باتجاه الشمال والشمال الشرقي.

#### مشكلة البحث:

تتلخص مشكلة البحث في ضعف امكانية الكشف والمعرفة المسبقة للطريقة الافضل من طرق الاستيفاء المكاني في بيئة برامج نظم المعلومات الجغرافية (GIS) لتطبيقها في عمليات التحليل الاحصائي المكاني. وانتاج افضل وادق خرائط التنبؤ المكاني لتوزيع الامطار في المناطق الجبلية وشبه الجبلية في العراق.

#### اهمية البحث واهدافه:

تأتي اهمية البحث من الحاجة الماسة لمصادر مياه امنة في المناطق الجافة وشبه الجافة وشبه الجافة نتيجة الطلب المتزايد والتوسع في الاراضي الزراعية، عليه ان التنبؤ بالتوزيع المكاني للامطار مهمة لادارة الموارد المائية في تحديد مناطق الاستثمار في المساحات الواسعة للمنطقة، هنا تاتي اهمية طرائق الاستيفاء المكاني لتوزيع المعنف المكاني المكاني لتوزيع الامطار ،والبحث يهدف الى المقارنة بين طرائق الاستيفاء المكاني 1DW, Kriging. وحدولا الى اعداد خارطة التنبؤ المكاني لتوزيع الامطار تعد نموذجا للمنطقة تستخدم الادارة الموارد المائية.

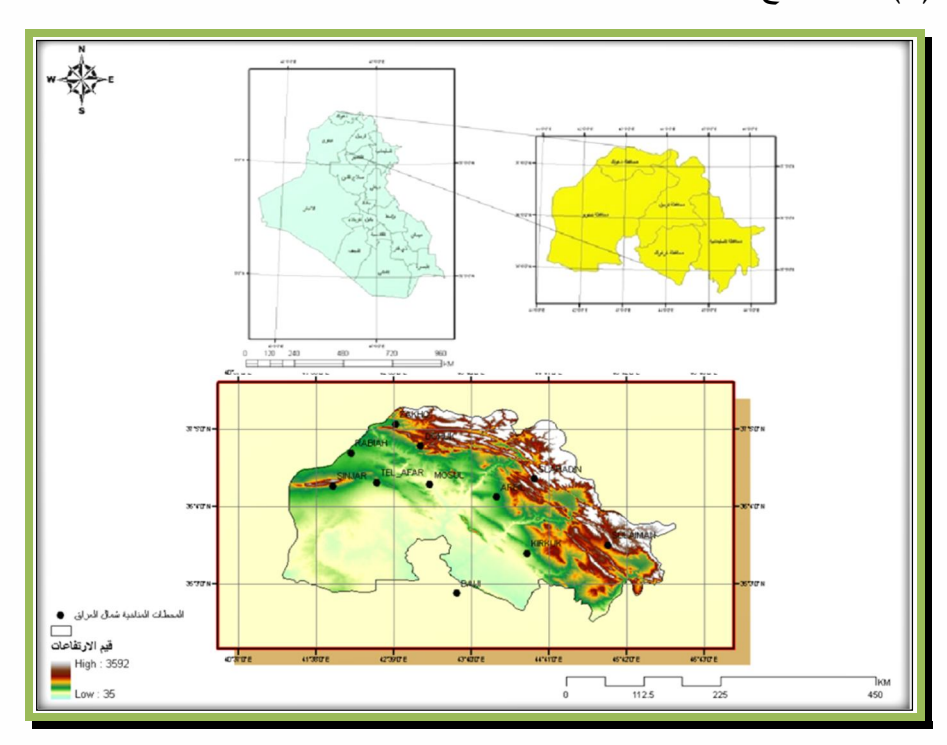
### فرضية البحث:

تقدم طرق التحليل الاحصائي المكاني باستخدام تقنيات الاستيفاء المكاني امكانيات وحلول في عمليات النمذجة المكانية لخرائط للتنبؤ بالتوزيع المكاني لامطار المناطق الجبلية وشبه الجبلية في العراق.



#### وصف منطقة الدراسة:

تقع المنطقة شمال خط الاستواء بين دائرتي عرض ( $^{-20} - ^{00}$ ) شمالاً من الجهة المنالية ، و  $^{-00}$  من شبه رطب الى شبه الجنوبية، و  $^{-00}$  من شمالاً من الجهة الشمالية ، فضمن منطقة انتقالية بين شبه رطب الى شبه جاف ثم جاف وتتحصر بين خط طول ( $^{-00}$  عرباً من الجهة الغربية ويتخذ موقعاً مكانياً بين الاقليم الجبلي في اقصى الشمال والشمال الشرقي وبين السهل الرسوبي والهضبة الصحراوية من الجنوب والجنوب الغربي ، ويمكن تحديد المنطقة ضمن اراضي القطر من محافظات دهوك ونينوى والسليمانية واربيل وكركوك ويمثل الاقليم مساحة قدرها ( $^{00}$  من مساحة العراق ( $^{00}$ ).

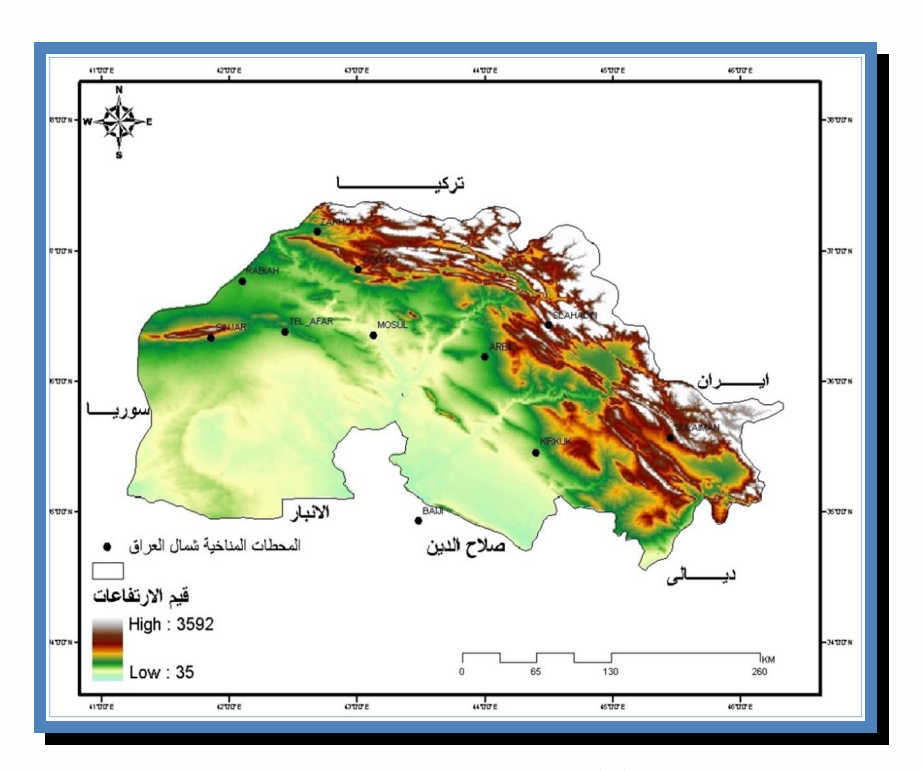


شكل (١) موقع منطقة الدراسة

# طرائق البحث ومواده:

هدف الجغرافيا هو معرفة الاختلافات المكانية بين جزء وآخر من سطح الأرض والأسباب التي أدت إلى ذلك ونتيجة لذلك زاد اهتمام الجغرافيين بالدراسات الإقليمية والتي تبحث في التباين المكاني لتوزيع الظواهر الجغرافية (١٢) . يتناول البحث التباين المكاني لتوزيع الامطار في منطقة الدراسة واثر ذلك على استخدامات الارض والتنمية المكانية. باستخدام

خرائط الاستيفاء المكانى Spatial Interpolation التي تنفرد بخاصية تمثيل السطوح الإحصائية Continuous Surface Maps ،الأسلوب العلمي في هذه النماذج يعتمد على أخذ البيانات المتوفرة في أماكن معينة من هذه المنطقة ,ثم التنبؤ بالبيانات المطلوبة في المناطق التي لا توجد فيها أية قياسات ,و هذه العمليات الرياضية تسمى بالإحصاء المكاني Geostatistical Analysis باستخدام نماذج رياضية حاسوبية ,تعتمد بدورها على توابع رياضية إحصائية مناسبة لكل حالة تبعا للظاهرة المدروسة. تم اتباع منهجية التحليل الاحصائي المكاني من أجل التنبؤ المكانى لخرائط توزيع الامطار في منطقة الدراسة، اخذت مجموعة بيانات معدلات الامطار السنوية للفترة ١٩٧٠ - ٢٠١٣ من محطات الارصاد الجوية في محافظات شمال العراق شكل(٢). وتم ادخال قاعدة البيانات المكانية والوصفية في برنامج ArcGIS V.10.3 لاجراء عمليات التحليل الاحصائي المكاني، باستخدام تقنية (Geostatistica) بمقارنة طريقة (IDW) مع ثلاثة نماذج من طريقة (Kriging) من اجل التنبؤ الاحصائي المكاني لتوزيع الامطار وبتقريب ملائم (Fitted) لعدة نماذج من (Semivariograms) لتوابع النماذج الثلاثة، وسيتم اختيار النموذج النهائي وتقيم دقة التوقعات. وهذه تتطلب مقارنة الأداء التجريبي لطرائق الاستيفاء المختلفة التي تحقق فيها على نحو كمي باستخدام اسلوب التحقق المتبادل عبر منحني التصديق، او (التحقق المتبادل)(cross-validation) هو إعادة استخدام عينة خوارزمية للمقارنة الكمية في الأداء التجريبي لاختيار طرائق الاستكمال البديلة، إذ يعطيك فكرة عن النموذج الذي يتوقع القيم المجهولة على نحو أحسن وذلك بإهمال ملاحظة في مجموعة البيانات واستعمال الملاحظات الباقية لتقدير الملاحظة المهملة، ويستخدم في ذلك تقنية استكمال معينة، ذات الاستخدام الواسع في دراسة المتغيرات الهيدرولوجية في السنوات الأخيرة<sup>(١٣)</sup>. رد عدد خاص بالمؤمرات ۱۰۱۸-۱۰۸



شكل (٢) محطات الارصاد الجوية شمال العراق

المعل الستوي للإمطار	الارتفاع عن مستوى سطح البحر	دائرة العرض	قوس الطول	المحظة
٧٧٤,٩	AET	70,77	£0, YV	السليمانية
٥٢٤,٨	171	77,07	٤٣	دهوك
£ £ 1	٤٧.	77, . 9	£ £	النبيل
***,**	***	77,19	٤٣,٩	الموصل
<b>775,6</b>	7.17	77, 57	٤٢,٠٦	ريبعة
***,**	22.	77,19	٤١,٥٠	سنجار
<b>7</b> 77,7.	771	40,44	£ £ , Y £	<u> کرکوڭ</u>
104,6	110	75,05	£7,77	Here's
104,4.	275	77,05	٤٢,٨	زاخور
716,7.	251	77,7	££, 9	صلاح الدين
¥1V,A3	£ £ Y	۲۷,۰۲	£1,0Y	تلعفر
<b>717,1</b>	757	75,75	٤٥,٦٧	خانقين

جدول (١) الموقع الفلكي لمحطات منطقة الدراسة والمعدلات السنوية للامطار



اولا: مقلوب المسافة الموزونة (Inverse Distance Weighting(IDW).

تعتمد هذه الطريقة بكفاءة عالية على الترابط المكاني حيث تعتمد هذه الطريقة على الاستفادة من البيانات المقيسة في نقاط محددة في المنطقة ,من أجل حساب بيانات مطاوبة في نقاط لا تتوفر فيها أية قياسات (١٤),حيث تؤثر بيانات كل نقطة معلومة بشكل أكبر كلما كانت قريبة من النقطة التي لا تتوفر فيها قياسات ويقل تأثيرها كلما ابتعدت عنها (١٥),أي كل نقطة معلومة يكون لها وزن معين يدخل في الحساب (١٦).

# معادلة نموذج مقلوب المسافة الموزونة IDW:

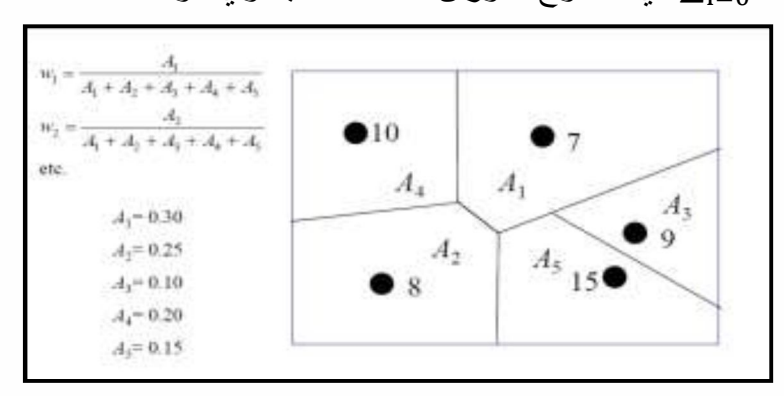
$$\hat{z}(x_0) = \sum_{i=1}^n w_i \cdot z(x_i)$$

حيث ان :  $Z(X_{\rm O})$  قيمة البارومتر المدروس في الموقع غير المقاس

قيمة البارومتر المدروس في المنطقة المدروسة  $Z(X_{
m i})$ 

الوزن الخاص بكل موقع في المنطقة المدروسة  $W_i$ 

تتلخص فكرة الوزن في إعطاء وزن خاص للنقطة عند حساب المركز المتوسط حيث إن الاوزان لا تعتمد فقط على المسافة الفاصلة بين النقاط و إنما على التوزيع المكاني لهذه النقاط والذي يعتمد بدروه على مايسمى الارتباط الذاتي بين النقاط ماقع في المنطقة المدروسة الوزن كما في الشكل( $^n$ ) حيث ان: Wi هي الوزن الخاص بكل موقع في المنطقة المدروسة بحيث يكون  $\sum_{i=0}^{n} wi = 1$  أي مجموع الأوزان لكل النقاط يساوي الواحد.



شكل (٣) طريقة حساب وزن النقطة



#### ثانيا: كريجنج البسيط (Simple kriging(SK).

من بين التقنيات الجيواحصائية المهمة نموذج كريجينك الذي يعد افضل اجراء للاستيفاء الخطي غير المتحيز (١٧)، وهي طريقة مقاربة ,تعطي أفضل تتبؤ بالقيم المجهولة لتابع عشوائي , وفي الحقيقة هذا التتبؤ هو عبارة عن تركيب مرجح موزون للقيم المقاسة. تستخدم هذه الطريقة النماذج الإحصائية التي تشمل الارتباط الذاتي في اكتشاف العلاقات المكانية بين نقاط العينة وذلك عن طريق استخدام دوال التغاير، وتستخدم المتوسط الحسابي في عملية التخمين ولكن بشكل أكثر تعقيدا حيث انها كل النقاط تدخل في حساب المتوسط بشكل شبكي خلاف. spline ، كل طريقة من هذه الطرق تستخدم أسلوب مختلف في تقدير قيم الخلايا المنتجة من مجموعة النقاط المختارة ، عملية اختيار أي طريقة تعتمد على نوع البيانات التي نقوم بإنشاء السطح منها، كذلك توزيع النقاط والظواهر التي تجري عليها الدراسة (١٨) .

$$Z(s_0) = \sum_{i=1}^N \lambda_i Z(s_i)$$

حيث ان:

(S<sub>i</sub>) القيمة المقاسة عند الموقع i

y: الوزن غير المعروف للقيمة المقاسة عند الموقع i

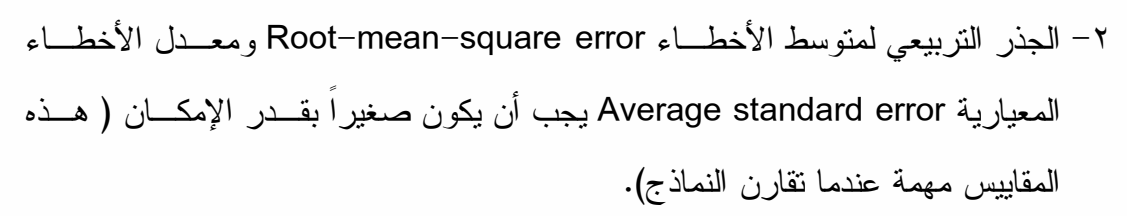
موقع التنبؤ  $S_o$ 

N: عدد القيم المقاسة

# ٣- مقاييس الدقة الاحصائية لمقارنة طرائق الاستيفاء المكاني (١٩):

هنالك عدد من المقاييس الإحصائية يمكن استعمالها لاختيار أفضل طرائق الاستيفاء دقة و تقييم أداء النموذج، إذ أن النموذج الذي يعطي تقديرات دقيقة هو كالآتي:

۱ – متوسط الخطأ Mean error يجب أن يكون قريباً من الصفر (يستعمل لمعرفة صلاحية النموذج).



Toot-mean-square standard error الجذر التربيعي القياسي لمتوسط الأخطاء Root-mean-square standard error يجب أن يكون قريباً من الواحد.

MAE = 
$$\frac{1}{n} \sum_{i=1}^{n} |z^*(x_i) - z(x_i)|$$

$$MRE = \frac{1}{N} \sum_{i=1}^{N} \left| \frac{Z_i - \overline{Z}_i}{Z_i} \right| \times 100\%$$

RMSE = 
$$\frac{1}{n} \sqrt{\sum_{i=1}^{n} (z^*(x_i) - z(x_i))^2}$$

Z= القيمة المقاسة للموقع او انقطة I

Ž= القيمة المتوقعة

n عدد المشاهدات

النتائج والمناقشة:

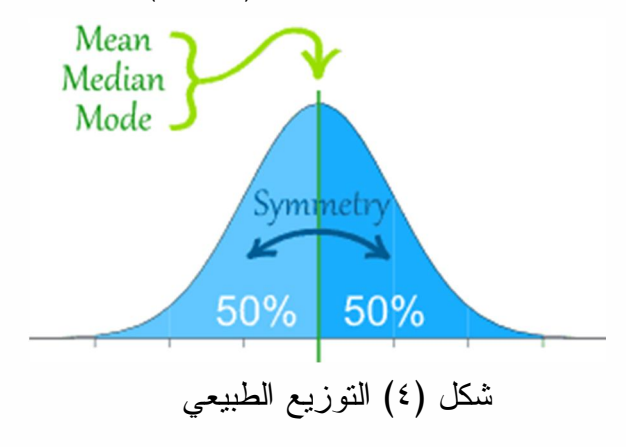
او لا: استكشاف ووصف البيانات Exploratory data analysis:

١ - تطبيع وتوزيع البيانات:

تعطي جميع نماذج الاستيفاء المكاني التي تستعمل لخلق السطوح المستمرة Continuous Surface Maps أفضل النتائج إذا كانت البيانات تتوزع على نحو طبيعي Normal distribution أشكل (٤) إذ ترفع في هذا النوع من التوزيع احتمالات توقع القيم بالقرب من المتوسط وتتناقص تدريجياً بالبعد عنه فضلا عن تساوي احتمالية وقوع أية قيمة دون المتوسط أو فوق المتوسط(٢٠). ويصعب هذا التوزيع إذا اختيرت العينات عشوائياً. لذلك يصبح لدى الباحث توزيع فعلي غير منتظم وتكراراته محدودة. وكلما كانت التكرارات أقل كان التوزيع أبعد عن الانتظام. ومن هنا جاءت أهمية اختبار البيانات قبل خلق السطح(٢٠). والجدير

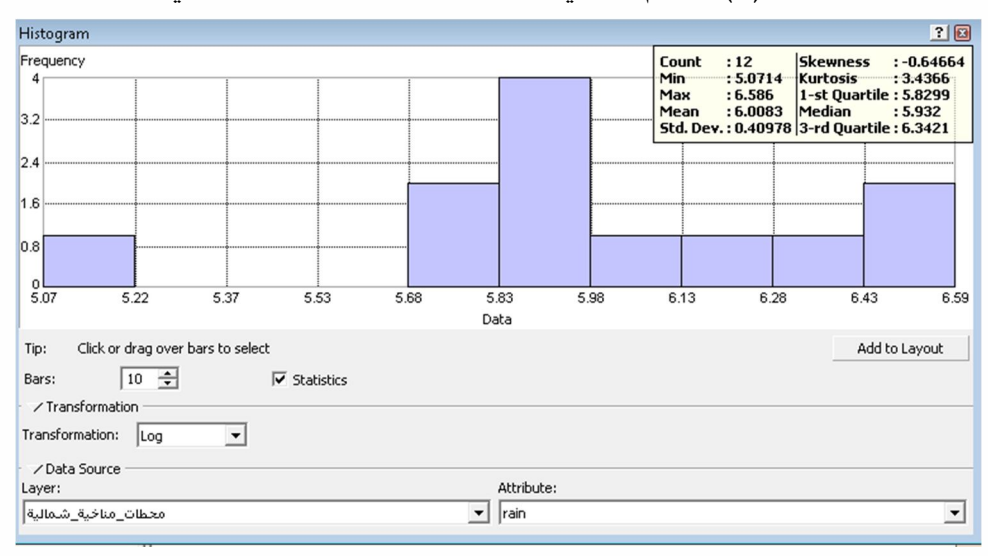
بالذكر إن البيانات المنحرفة تظهر في كثير من المجالات كما هو الحال في المناخ والزراعة والبيئة وكما هو الحال أيضاً في در استنا(٢٠). والشكل Histogram (٥) يوضح انه عندما تكون البيانات ذات توزيع تكراري طبيعي بمنوال واحد يكون المتوسط الحسابي تقريبا مساوي الوسيط وبالتالي تصبح قيمة معامل الألتواء (صفر ). في حالة الألتواء نحو اليمين يكون المتوسط الحسابي اكبر من الوسيط وبالتالي تصبح قيمة معامل الألتواء موجبة ( + ) أما في حالة العكس والألتواء نحو اليسار يكون المتوسط الحسابي اصغر من الوسيط وبالتالي تصبح قيمة معامل الألتواء سالبة (-). بشكل عام قيمة معامل الألتواء في حالة التوزيع الطبيعي تقع بين ( - ١ و الألتواء سالبة (-)، القيم الخارجة عن هذا المدى تؤكد بأن توزيع البيانات ملتوي نحو اليمين او اليسار يظهر من شكل المدرج التكراري Histogram (٤) الملخص الإحصائي لبيانات الامطار في الجدول (٢)، ويلاحظ أن بيانات الامطار لاتتوزع بشكل طبيعي لذلك تم تحويل البيانات لوغارتميا، شكل(٢) فاصبح هناك تقارباً بين قيمتي الوسط الحسابي Mean (١,٠٠٨) و الوسيط لوغارتميا، شكل(٢) وان قيمة الالتواء (٢,٠٠٨) قريبة من (١).

وبدلالة الانحراف المعياري Standard Davison يلاحظ من الجدول (٢)انخفاض قيمته عن المعدل(٠,٤٠٩) مما يدل على تماثل قيم الامطار في توزيعها وانتشارها بالنسبة لمعامل الالتواء يلاحظ ان شكل التوزيع من حيث درجة الالتواء يعطي انطباعا على انحراف التوزيع نحو اليسار بدلالة قيمة معامل الالتواء السالبة (٠,٦٤).





### شكل (٥) الرسم البياني للبيانات قبل التحويل اللو غارتمي



شكل (٦) الرسم البياني للبيانات بعد التحويل اللوغارتمي

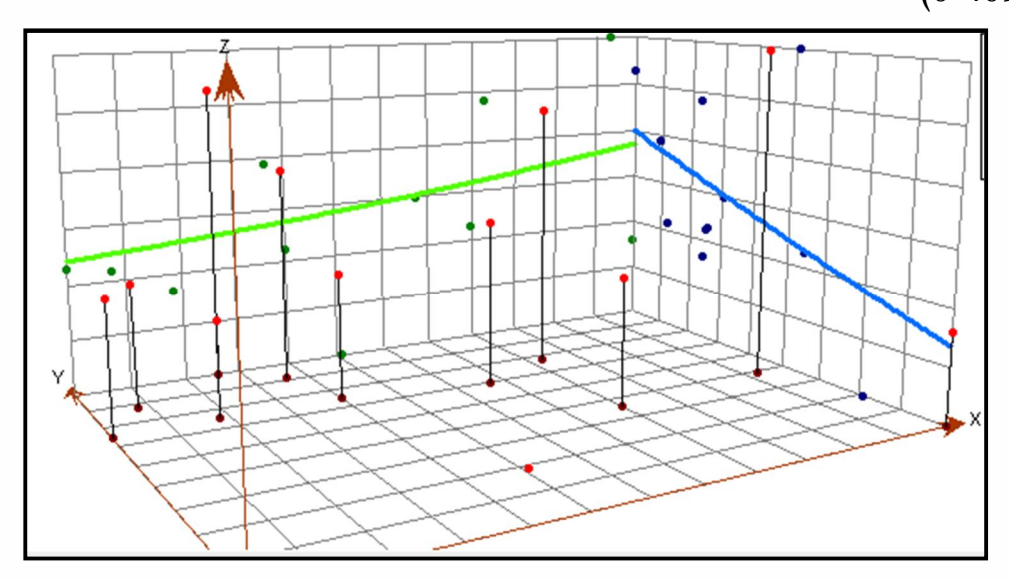
بعد تحويل البيانات	قبل تحويل البيانات	القيم
5.0714	159.4	اقل قيم
6.586	724.9	اعلى القيم
6.0083	436.71	المتوسط
5.932	376.9	الوسيط
0.40978	163.62	الانحراف المعياري
-0.6466	0.3239	الالتواء
3.4366	2.318	التفلطح

جدول (٢) الوصف الاحصائي لبيانات الامطار



### ٢- أتجاه التوزيع Trend والقيم المتطرفة Outliers:

تستخدم ادوات تحليل الاتجاه والقيم المنظرفة في تمثيل البيانات بنمط ثلاثي الابعاد 3D من خلال تحديد العناصر على محوري Y,X وقيمها على محور Z ورسم حاور الاتجاه شمالي شرقي وشرقي ، اتجاه الامطار يمكن ملاحظتها بوضوح من خلال منظور ثلاثي الابعاد حيث ان محلل اداة الاتجاه في الشكل (٧) يوضح ان الخط الاخضر يظهر ارتفاع القيم من الغرب الى الشرق حيث تزداد هطول الامطار بشكل واضح من الغرب الى الشرق، في حين ان الخط الازرق يظهر انخفاض القيم من الشمال الى الجنوب، ويرجع ذلك الى طبيعة تضاريس المنطقة والارتفاع عن مستوى سطح البحر كلما اتجهنا من الجنوب والغرب باتجاه الشمال والشمال الشرقي. وان وصف بيانات الامطار احصائيا بعد التحويل اللوغارتمي للقيم تقاربت قيم الوسط مع الوسيط، والالتواء اصبح اقرب الى الصفر، وان الانحراف المعياري بعد التحويل اصبح مع الوسيط، والالتواء اصبح اقرب الى الصفر، وان الانحراف المعياري بعد التحويل اصبح

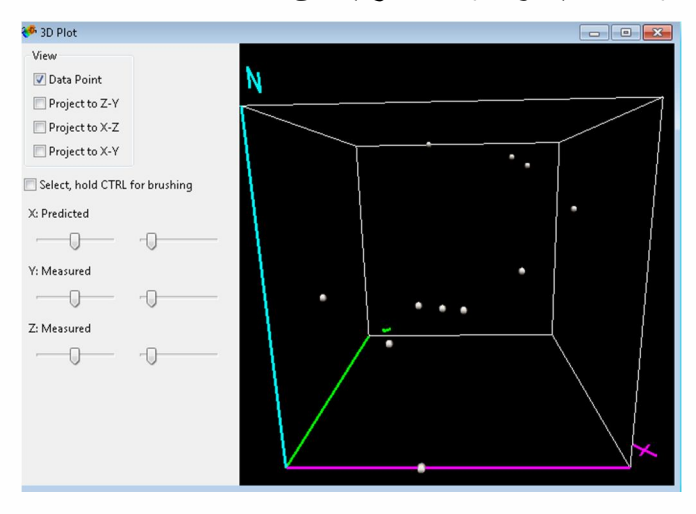


شكل(٧) اتجاه توزيع الامطار في منطقة الدراسة

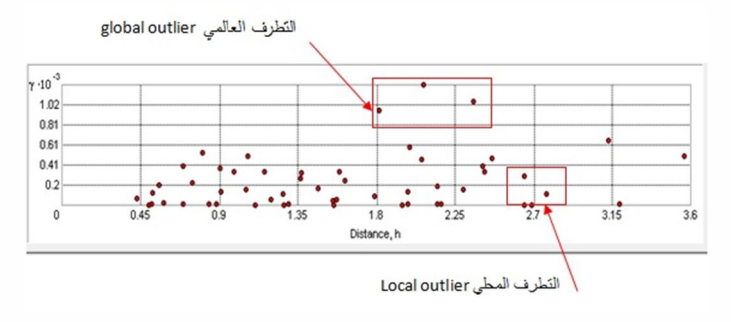
# الارتباط الذاتي المكاني Spatial Autocorrelation

مهمة الباحثين في مجال الاحصاء المكاني هي التعرف على بنية او هيكل مهمة الباحثين في مجال الاحصاء المكاني. Spatial Autocorrelation function الموجودة بين العناصر شكل دالة التغير الذاتي المكاني للبيانات (وجود او عدم وجود هيكل مكاني للبيانات) والمسالة الاساسية في الاحصاء المكاني هي اعادة بناء وتركيب البيانات عند عدد محدود من النقاط

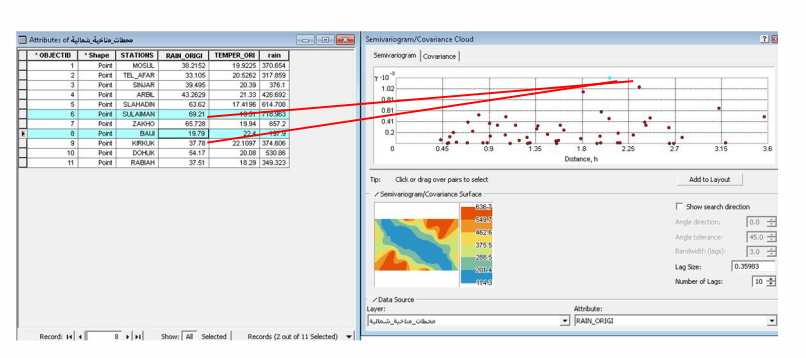
اوالمواقع. حيث يعبر عن مدى تشابه قيمة احد العناصر في موقع معين مع قيمة عنصر اخر او موقع اخر مجاور، شكل(٩) ويتم التاكد من وجود أو عدم وجود العلاقة باستخدام شكل اختلاف القيم او سحابة (Semivariogram) بالمقارنة بين مدى المسافة بين العناصر على محور (x) ونصف قيمة مربع الاختلاف فيما بين القيم على المحور (y) .على كل نقطة من نقاط التمثيل على شكل الاختلاف (Semivariogram) شكل (١٠) يمثل زوج من النقاط وليست نقطة واحدة منفردة وفي در استنا تمثل كل نقطة محطتين من القيم المتطرفة Outliers الامطار من الناحية التحليلية هي عبارة عن اما قيم عالية جدا او منخفضة جدا مقارنة مع بقية بيانات الامطار ،وهذا يظهر بوضوح من خلال الشكل التي تمثل خصائص بيانات هطول الامطار شمال منطقة الدراسة وجنوبها. حيث تسجل محطات السليمانية وزاخو بيانات امطار متطرفة عالية جدا (٢٥٧,١ و ٢٥٠٤) ملم، في حين تسجل محطات كركوك وبيجي بيانات متطرفة منخفضة جدا (٢٥٧,١ و ٢٥٠٤) ملم على التوالي. مما يعبر عن وجود ارتباط ذاتي مكاني تنتشر مبتعدة نحو الجهات العليا او الجهات الغربية من المنطقة.



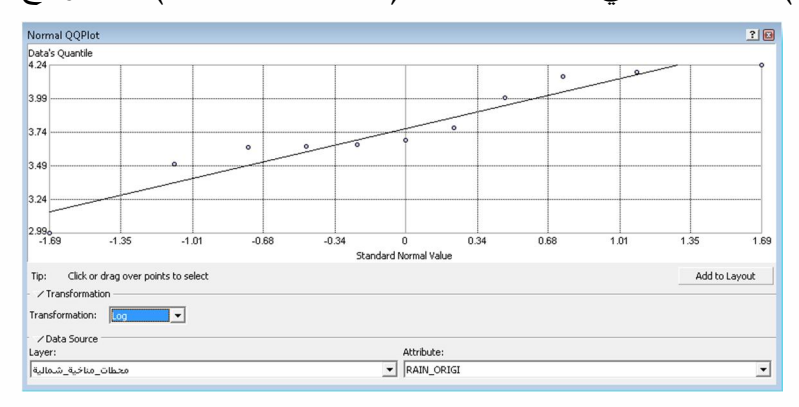
شكل (٨) الهيكل المكاني لبيانات الامطار



شكل (٩) الهيكل المكاني للبيانات وتحديد القيم المتطرفة



شكل (١٠)نقاط التمثيل في شكل الاختلاف (Semivariogram) يمثل زوج من النقاط



شكل (١١) تماثل توزيع البيانات بعد التحويل اللوغارتمي Log

تم استخدام مؤشر QQ بعد التحويل اللوغارتمي (Log) لمقارنة توزيع البيانات هطول الامطار مع التوزيع الطبيعي القياسي بتشكيل او اسقاط البيانات مقابل التوزيع الطبيعي القياسي وكانت النتيجة توزيع البيانات قريبة من التوزيع الطبيعي القياسي (٢٤) ، باستثناء بيانات المناطق الغربية.

# مقارنة طرق الاستيفاء المكانى ومعايير ودقة النتائج ACCURACY:

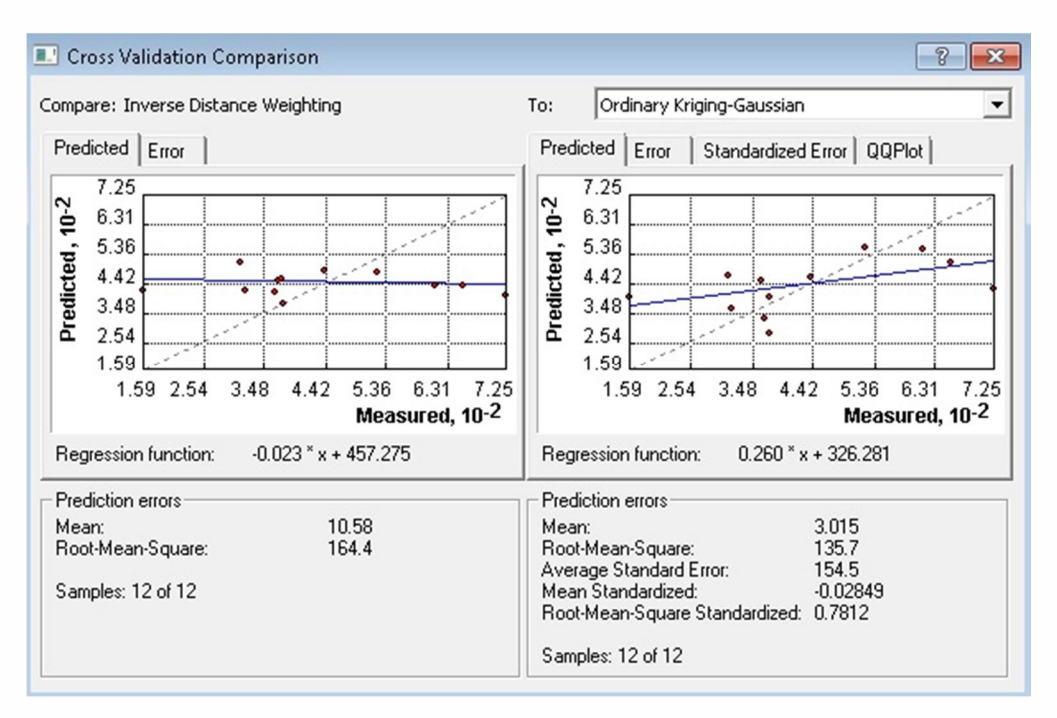
تنتج خرائط الاستيفاء المكاني لبيانات للظواهر الجغرافية المستمرة نوع من التعميم الخرائطي مقارنة بين الواقع ألحقيقي والقيم المتوقعة،وينتج عن هذا التعميم نوع من درجات الخطا احصائيا،في عدم التطابق بين الواقع ونموذج تمثيل الظاهرة،لقد وفرت برمجيات ArcGIS 10.3 مجموعة ادوات احصائية مكانية تسمى اختبار صدق النتائج (-Validation) (Validation) في عمليات الاستيفاء المكاني وللمقارنة بين طرق الاستيفاء المكاني الاشكال (١٤،١٣،١٢) والحكم احصائيا على صلاحية خارطة التنبؤ المكاني يفترض ان يعطي النموذج (MAE) (Mean Prediction Error) ومتوسط الخطا المتوقع (MSE) (Mean Standardized) والخطا المقاس الخطا المقاس (MSE) (Mean) Standardized)

(Root-mean- قريبة من الصفر، والجذر التربيعي لمتوسط الأخطاء (MRE) (error (ASE) (Average standard error) ومعدل الأخطاء المعيارية (RMSE) square error) ومعدل الأخطاء المعيارية (RMSE) (Root-mean-square standard error)، والجذر التربيعي القياسي لمتوسط الأخطاء (Root-mean-square standard error) (Predicted Data) يجب أن يكون قريباً من الواحد. ولكشف الاختلافات بين القيم المتوقعة (measuring Data) والقيم المقاسة (measuring Data) فيكون من خلال مدى اقتراب قيمة متوسط الخطا المعياري ASE Average Standard Error مع قيمة الجذر التربيعي لمتوسط الخطا RMSE.

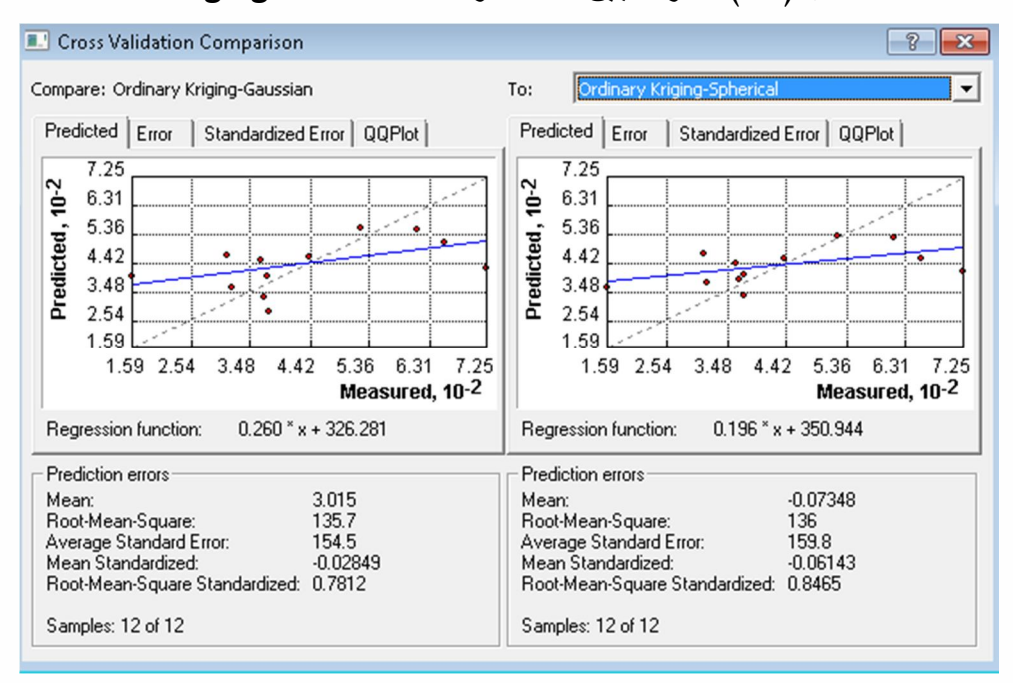
$R^2$	R	RMSS	MSE	MRE	MAE	RMSE	النموذج
0.459	0.678*	0.7812	-0.0284	0.056	3.015	135.79	الغوصي Gaussian
0.198	0.445	0.776	-0.0159	0.094	4.963	144.2	الأسي Exponential
0.380	0.617*	0.8465	-0.0614	0.001	0.073	136	ا <b>لك</b> رو ي Spherical
0.107	0,328	-	_	0.200	10.58	164.4	معكوس المسافة الموزونة IDW

جدول (٣) حسابات دقة النتائج

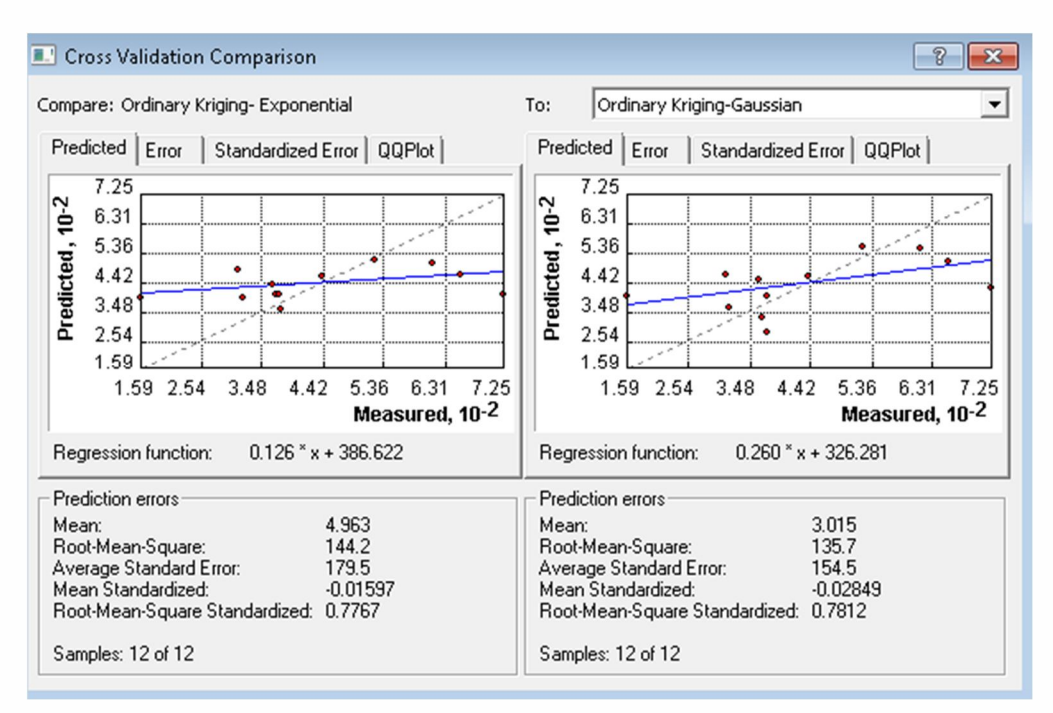




شكل (۱۲) مقارنة بين IDW و Kriging – Gaussian



الشكل (۱۳) مقارنة بين spherical model و Gaussian model

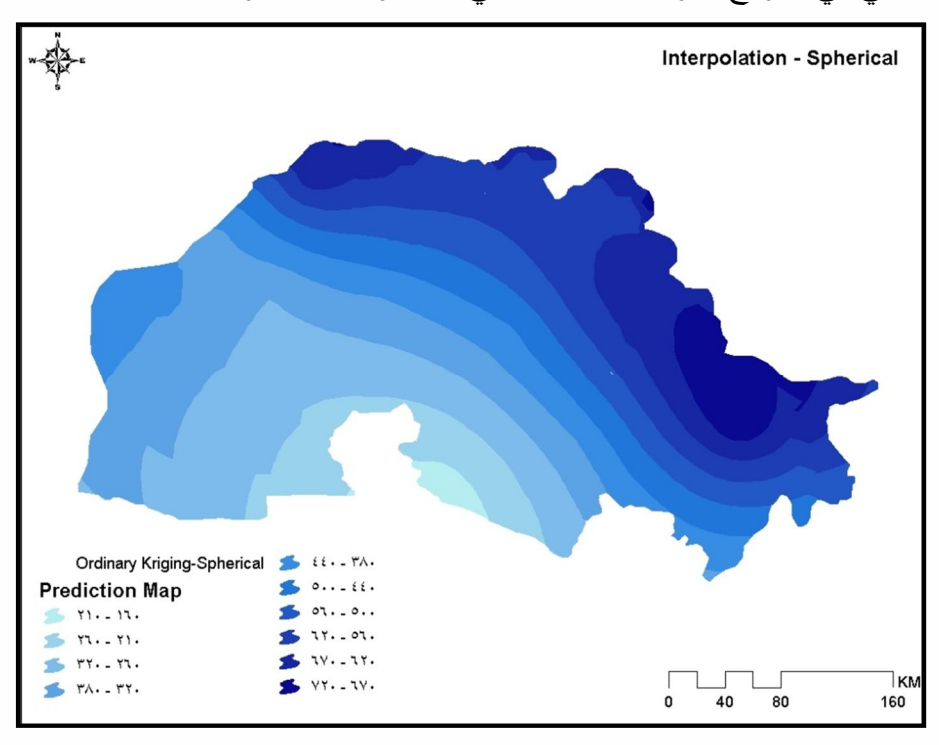


(۱٤) مقارنة بين Exponential model و Gaussian model

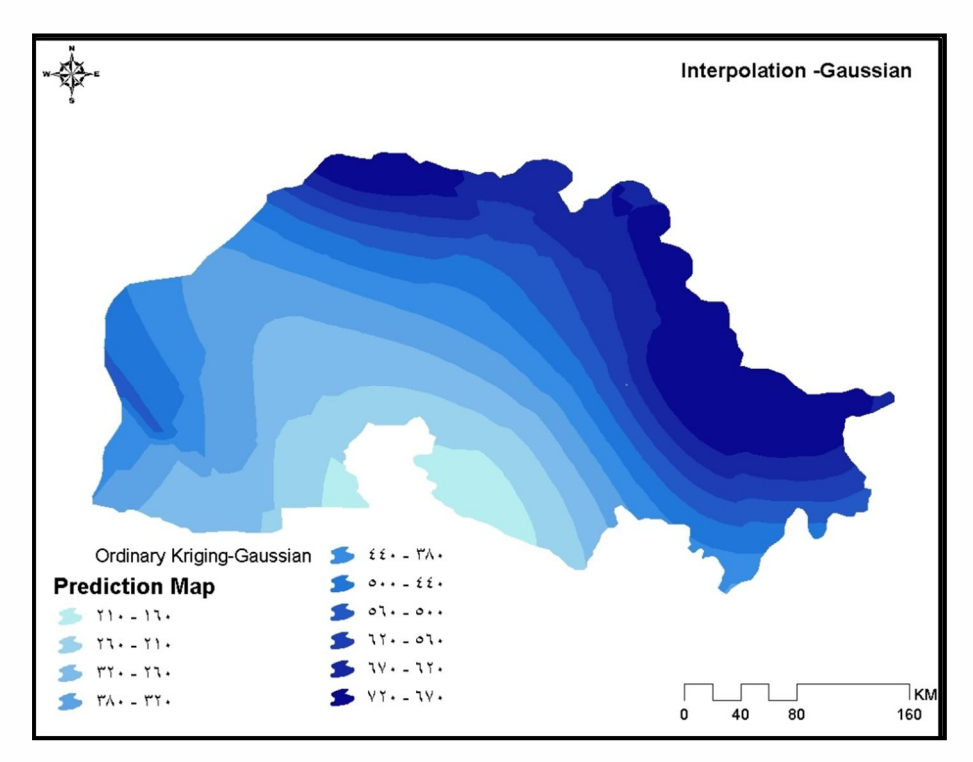
ومن نتيجة المقارنة الاحصائية بين نماذج (Kriging) مع طريقة (Exponential model) و (model و (IDW) و (IDW) و (Kriging) التابعة لطريقة (Kriging) مع طريقة (الشكال (۱۶، ۱۳،۱۲) والتحقق من صحة النتائج باستخدام (Cross-Validation) كما موضح في الاشكال (۱۵، ۱۳،۱۲) من من صحة النتائج باستخدام (Spherical model) ضمن طريقة (Kriging) الشكل (۱۵) هو الاسلوب الافضل لتمثيل خارطة النتبؤ المكاني لتوزيع امطار شمال العراق كون هذه التقنية تمثلك اقل تقدير خطأ والانحراف عن القيم الاصلية منخفضة جدا، وهذه العملية هي الخطوة الاولى المصول على جودة امكانية توقعات حقيقية لكميات الامطار الساقطة وتوزيعها المكاني على مساحة المنطقة.حيث تشير قيم متوسط الخطا المتوقع (Maen Prediction Error) (Maen) (Mean Prediction Error) والخطا المقاس Standardized النيبي (Mean) (Mosen) (Mosen) (المقاسة والمتوقعة ومعامل الارتباط (\*۱۱۷۰) ويلاحظ من الشكل (۱۵) زيادة كميات الهطول المطري في الاجزاء التحديد (۱۵،۳۸۰) معامل الارتباط (\*۱۱۷۰) زيادة كميات الهطول المطري في الاجزاء الشمالية والشرقية من منطقة الدراسة، حيث بلغت أقصاها (۲۲۶٫۹) ملم في السليمانية الواقعة شرق من منطقة الدراسة، حيث بلغت أقصاها (۱۷۲۶٫۹) ملم في الاجزاء الجنوبية من منطقة الدراسة، وأدناها (۱۵٫۵۱) ملم في بيجي الواقعة في الاجزاء الجنوبية من منطقة الدراسة، وأدناها (۱۵٫۵۱) ملم في بيجي الواقعة في الاجزاء الجنوبية من منطقة الدراسة، وأدناها (۱۵٫۵۱) ملم في بيجي الواقعة في الاجزاء الجنوبية من

عدد حاص بالمؤمرات ۱۰۰۸-۲۰۰۸

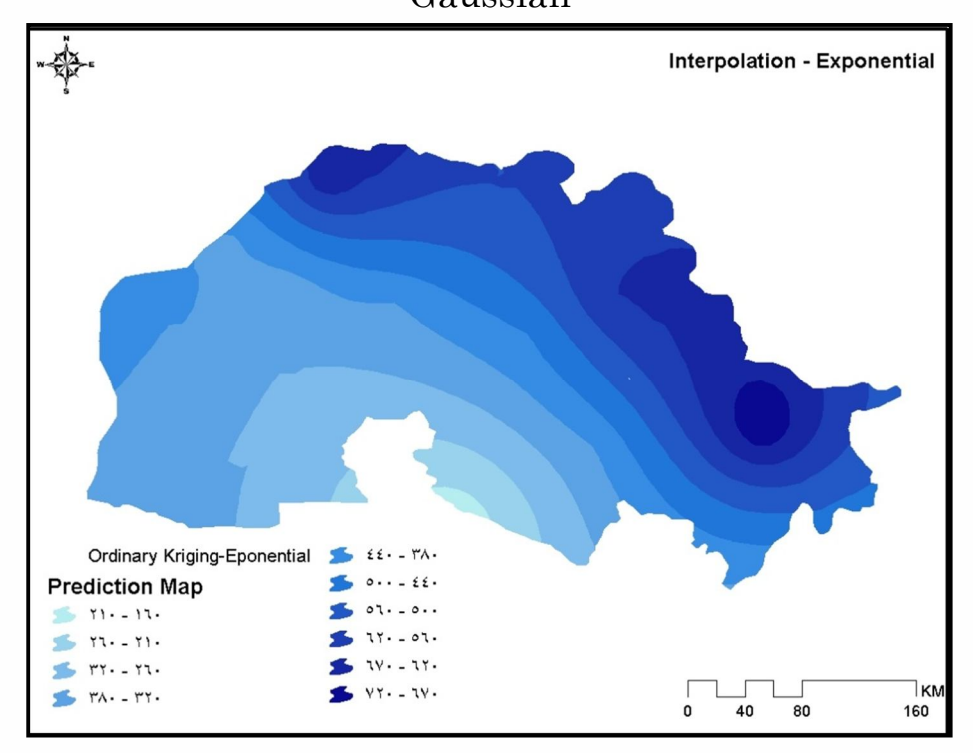
منطقة الدراسة. ويلاحظ من خارطة التنبؤ المكاني وفق نموذج Spherical التابعة لطريقة Kriging ان الاقليم الجبلي تمثل فيها اعلى كميات للامطار وبشكل شريط مع حدود العراق في الجزء الشمالي والشمالي الشرق من العراق وهذا يتوافق مع بيانات الامطار المسجلة في محطات المنطقة البالغة في محطة السليمانية (٧٢٤,٩)ثم يظهر التباين المكاني في الاقليم شبه الجبلي حيث تقل كميات الامطار وكان اعلى معدل في محطة اربيل (٤٤١) ملم ،ثم ازداد التباين المكاني وبشكل تدريجي في الاجزاء الجنوبية من المنطقة، حيث سجلت ادنى معدل لها في محطة بيجي (١٥٩،٤) ملم ،وقد مثل نموذج الاستيفاء المكاني المكاني المعائية وصدق افضل تمثيل لبيان تغطية المنطقة بمعدلات اقرب الى الواقع نتيجة الدقة الاحصائية وصدق النتائج بعد المقارنة الاحصائية بين النماذج التجريبية الاخرى التي استخدمت للوصول الى النموذج المثالي في اخراج خارطة التنبؤ المكاني لامطار شمال العراق.



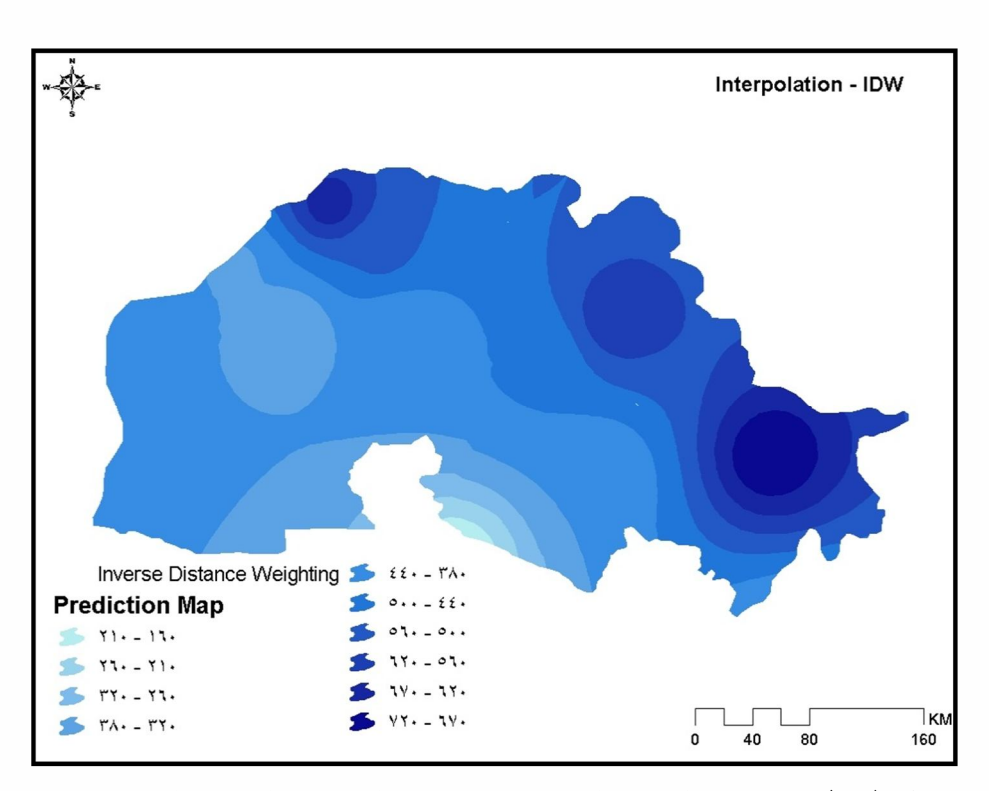
شكل (١٥) الاستيفاء المكاني لمعدلات الامطار السنوية بطرقة Kriging وفق نموذج الكروي Spherical



شكل (١٦) الاستيفاء المكاني لمعدلات الامطار السنوية بطريقة Kriging وفق نموذج الغوصي Gaussian



شكل (١٧) الاستيفاء المكاني لمعدلات الامطار السنوية بطريقة Kriging وفق نموذج الأسيي شكل (١٧)



شكل (١٨) الاستيفاء المكاني لمعدلات الامطار السنوية بطريقة بطريقة



- ۱- نتائج تحليل استكشاف وتطبيع البيانات الجغرافية Exploratory Spatial Data البيانات هطول الامطار كشفت مايلي:
- بيانات هطول الامطار غير موزعة بشكل طبيعي، وتم تحويل البيانات لوغارتميا Log للتعامل معها في عمليات النمذجة الخرائطية.
- تم العثور على القيم المتطرفة العالمية والمحلية في بيانات الامطار والتي تمثل تشوهات حقيقية في قيم الامطار.
- اظهرت تحليل اتجاه البيانات وجود اتجاهين رئيسيين الاول غربي شرقي والثاني جنوبي شمالي لتوزيع امطار المنطقة.
- Y-كفاءة تقنية التحليل الاحصائي المكاني GEOSTATIATICAL ANALYSIS في انتاج خرائط السطوح المستمرة (Continuous Surface Maps) للظواهر الجغرافية وفق معايير احصائية دقيقية.
- ٣- افضلية نموذج الكروي Spherical التابعة لطريقة Kriging في انتاج خرائط التنبؤ المكاني لامطار شمال العراق مقارنة مع النماذج والطرق الاخرى ببعد استخدام اختبار صدق النتائج (Cross-Validation) والحصول على اقل تقدير خطأ وانحراف عن القيم الاصلية.

### هوامش البحث ومصادره:

- ١- صفوح خير، الجغرافية موضوعها ومناهجها وأهدافها، دار الفكر المعاصر، دمشق، ٢٠٠٠، ص59.
- ٢- ماجدة الشيخ محيلان، التباين المكاني للحرارة والهطول في مدينة عمان الكبرى، رسالة ماجستير، كلية الدراسات العليا، الجامعة الأردنية، ١٩٩٥، ص47.
- 3- Goodale, C. L., J. D. Aber, and S.V. Ollinger. (1998). Mapping monthly precipitation, temperature, and solar radiation for Ireland with polynomial regression and a digital elevation model, *Climate Research* 10, 35 49.

- 4 Dirks, K. N., J. E. Hay, C.D. Stow, and D. Harris. (1998). High resolution studies of rainfall on Norfolk Island part II: Interpolation of rainfall data, *Journal of Hydrology* 208, 187-193.
- 5- Price, D. T., D. W. Mckenney, I. A. Nalder, M. F. Hutchinson, and J. L. Kesteven. (2000). A comparison of two statistical methods for spatial interpolation of Canadian monthly mean climate data, *Agricultural and Forest Meteorology* 101, 81 94.
- 6- WILLMOTT, C.J. "On the validation of models", Physical Geography 2, 184-194. 1981.
- 7-NALDER, I.A. and WEIN, R.W., "Spatial interpolation of climatic Normals: test of a new method in the Canadian boreal forest", Agricultural and forest meteorology 92, 211-225. 1998
- 8- BURROUGH, P. A. and MCDONNELL, R. A. "Principles of Geographical Information systems", Oxford: Oxford University Press. 1998.
- 9- LI, J. and HEAP, A. D., "A Review of spatial Interpolation methods for Environmental scientists", Geoscience Australia Record 2008/23, Cambera. Taken from the website http://www.ga.gov.au/image\_cache/Ga12526.pdf on 10 September 2014. 2008.
- 10- BARGAOUI, K. K. and CHEBBI, A., "Comparison of two kriging interpolation methods applied to spatiotemporal rainfall", Journal of Hydrology, v.365, pp.56-73. 2009.
- 11- وفيق حسين الخشاب، احمد سعيد حديد واخرون، الموارد المائية في العراق، بغداد، ١٩٨٣، ٣٠٠ . 17- جريفث تيلور، الجغرافيا في القرن العشرين - دراسة لتقدمها وأساليبها وأهدافها واتجاهاتها، ترجمة: محمد السيد غلاب ومحمد مرسى أبو الليل، الهيئة المصرية العامة للكتاب، القاهرة، ١٩٨٧.)
- 13- Nasser A. Alsaaran, Experimental performance of spatial interpolators for ground water salinity. Internet (<a href="http://ajse.kfupm.edu.sa/articles/301A">http://ajse.kfupm.edu.sa/articles/301A</a> 01P.pdf) p7.
- 14- Collins, J.R.., Fred, C., (1995). A Comparison of Spatial Interpolation Techniques in Temperature Estimation. Doctoral Dissertation. Virginia Polytechnic Institute and State University, Blacksburg, VA
- 15- Johnston, Kevin,. Ver Hoef, Jay M., Krivoruchko, Konstantin and Lucas Neil (2001). Using ArcGIS Geostatistical Analyst. Environmental Systems Research Institute, Redlands, CA
- 16- Anderson, S., (2015). An evaluation of Spatial Interpolation Methods on Air Temperature in Phoenix, AZ. Dept. of Geography, Arizona State University.
- 17- Gundogdu, K.S. and Guney, I., (2007). Spatial analyses of groundwater levels using universal kriging. J Earth Sys Sci 116 (1): pp. 49-55.
- 18-Uyan, M. and Cay, T. (2010). Geostatistical methods for mapping groundwater nitrate concentrations. Paper presented at the 3rd international conference on cartography and GIS. Nessebar, Bulgaria.

- 19-Wu Hao,and Xu Chang," Comparison of Spatial Interpolation Methods for Precipitation in Ningxia, China International Journal of Science and Research (IJSR), India Online ISSN: 2319-7064. Volume 2 Issue 8, August 2013 www.ijsr.net
- 20- Smith, M.J.de., Goodchild, M.F., & Goodchild, M.F. (2007). *Geospatial Analysis A Comprehensive Guide to Principles, Techniques and Software Tools*, (Second Edition). United State: Winchelsea Press.
- ٢١- عيسى على إبراهيم، الأساليب الإحصائية والجغرافية، دار المعرفة الجامعية،ط٢،الاسكندرية، ١٩٩٩،
  - ٢٢-عيسى على إبراهيم، المصدر السابق، ص٢٧٢.
- ٢٣- محمد نذير محمد قاسم وغانم محمود الحاصود، استكمال في الإحصاء المكاني للبيانات ذات الالتواء
   الموجب، المجلة العراقية للعلوم الإحصائية، العدد ٦ لسنة ٢٠٠٤، ص٧٩.
- 24- Johnston, K., Ver Hoef, M. J., Krivoruchko, K. and Lucas, N. (2001). Using ArcGIS Geostatistical Analyst. ESRI.
- 25- Smith, M.J.de., Goodchild, M.F., & Goodchild, M.F. (2007). *Geospatial Analysis A Comprehensive Guide to Principles, Techniques and Software Tools*, . (Second Edition). United State: Winchelsea Press.
- 26- http://geodacenter.asu.edu/